

زیست‌چینه‌نگاری و محیط رسوبی سازند قم در برش تلن کوه، جنوب‌باختری سمنان

سید‌محمد حسینی‌نژاد^۱، حسن رامه^{۲*} و رضا اهری‌پور^۳

۲ و ۳ دانشکده علوم زمین، دانشگاه دامغان، دامغان

تولیدکننده مسئول: hassanrameh.67@gmail.com

دریافت: ۹۵/۳/۲۰ پذیرش: ۹۵/۱۰/۱۳

چکیده

سازند قم در برش تلن کوه با ۶۰۵ متر ارتفاع در ۵ کیلومتری جنوب‌باختری سمنان واقع شده است و از شش واحد سنگی شکل گرفته است که از نظر لیتو‌لوزی به طور عمده شامل سنگ‌آهک، تنابو سنگ‌آهک و مارن، سنگ‌آهک مارنی و ژیپس است. مرز زیرین سازند قم در این برش با سازند قرمز زیرین به صورت ناپیوستگی فرسایشی و مرز بالای آن احتمالاً به دلیل فرسایش یا گسل خوردگی نامشخص است. پس از مطالعه زیست‌چینه‌نگاری تعداد ۳۴ جنس و ۱۸ گونه از روزن داران کفزی شناسایی گردید و بر مبنای حضور روزن داران شاخص سن شاتین؟ بوردیگالین برای این برش تعیین شد. همچنین با استفاده از بازدیدهای میدانی و مطالعات آزمایشگاهی یک لیتو‌فاسیس کنگلومراپی، یک رخساره تاریخی و ۱۰ ریزرخساره در ۵ دسته رسوبی فراکشنده، پهنه کشنده، لاغون، سد ماسه‌ای بایوکلستی و دریای باز کم عمق مشخص گردید. بنابراین برای برش تلن کوه یک رمپ کریتاته هموکلینال پیشنهاد شده است.

واژه‌های کلیدی: زیست‌چینه‌نگاری؛ محیط رسوبی؛ سازند قم؛ روزن داران کفزی؛ جنوب‌باختر سمنان

مطالعات پیشین

مقدمه

از جمله مهم‌ترین مطالعات زیست‌چینه‌نگاری و محیط رسوبی صورت گرفته بر روی سازند قم می‌توان به بررسی فوتای مرجانی و پالنواکلولوئی و پالنوبیوجغرافی الگوسن و میوسن پیشین ایران مرکزی توسط اشuster و ولیند [۴۷]، زیست‌چینه‌نگاری و چینه‌نگاری سکانسی سازند قم در جنوب‌غرب ارستان توسط وزیری‌مقدم و ترابی [۴۹]، روزن داران کفزی میوسن پیشین و زیست‌چینه‌نگاری سازند قم در شمال دهمک توسط داشیان و رمضانی‌دانای [۲۹]، مطالعاتی بر روی پریوزوئرهای پوشاننده سازند قم توسط پرینیگ و همکاران [۲۵]، زیست‌چینه‌نگاری و چینه‌نگاری سکانسی و محیط رسوبی سازند قم در دو برش از حوضه پس‌کمان و پیش‌کمان توسط ریوتور و همکاران [۴۵]، زیست‌چینه‌نگاری روزن داران سازند قم در منطقه چثار به وسیله بهقروزی و صفری [۲۴]، بررسی پسته شدن راه دریایی تیتان توسط محمدی و همکاران [۴۸]، زیست‌چینه‌نگاری سازند قم در جنوب‌غرب تقریباً به وسیله مغقولی‌مقدم و همکاران [۳۷]، زیست‌چینه‌نگاری سازند قم در شمال آباده توسط محمدی و همکاران [۳۹]، چینه‌نگاری سکانسی سازند قم در جنوب شهر قم توسط امیرشاه‌کرمی و همکاران [۲۱] اشاره کرد.

سازند قم شامل توالی از مارن، سنگ‌آهک، ژیپس و سنگ‌های سیلیسی آواری است که در ساحل شمال خاوری راه دریایی تیتان نهشته شده است [۴۵]. مطالعه سازند قم به دلیل اهمیت اقتصادی و نقش ارتباطی مهمی که این سازند بین اقیانوس هند و آرام و دریای مدیترانه داشته است، ضروری و مهم است [۴۰]. نهشته‌های سازند قم به سن الگوسن تا میوسن نشانگر آخرین پیش‌روی دریا در ایران مرکزی هستند [۴۰ و ۲۹] که زمان این پیش‌روی در همه جای ایران مرکزی یکسان نبوده است [۱ و ۱۱]. به دلیل تغییرات رخساره‌ای زیاد، پرش الگویی برای سازند قم معرفی نشده است اما در ناحیه قم، ناحیه‌ای به عنوان ناحیه الگو معرفی شد [۱ و ۳۹]. تاکنون در مطالعات زیست‌چینه‌نگاری تواحی اطراف سمنان از پایزوتوسیون آدامز و پورزووا [۱۹] استقاده شده است در این پژوهش تلاش شده است تا علاوه بر پایزوتوسیون مذکور از پایزوتوسیون‌های ارائه شده توسط لارسن و همکاران [۳۶] و ون‌بوخم و همکاران [۴۸] نیز استقاده گردد. علاوه بر این، بررسی ریزرخساره‌ها و تفسیر محیط رسوبی سازند قم در برش تلن کوه واقع در جنوب باختری سمنان نیز صورت گرفته است.

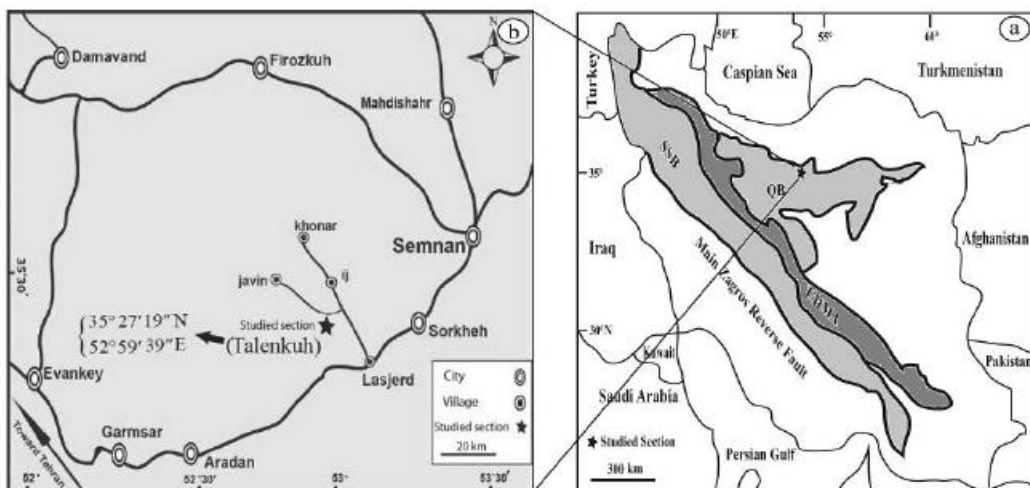
سازند قم از زون پندی‌هایی که برای سازند آسماری توسط لارسن و همکاران [۳۶] و ون بوخ و همکاران [۴۸] ارائه شده‌اند، استفاده گردید.

موقعیت جغرافیایی، زمین‌شناسی و چینه‌شناسی
رسوبات الیگومیوسن راه دریایی تیان در پلیت ایران (سازند قم) در حوضه پیش‌کمان سندج-سیرجان، کمان ماقمایی ارومیه دختر (حوضه بین‌کمانی) و حوضه پس‌کمان ایران مرکزی قرار گرفته‌اند [۳۹]. منطقه مورد مطالعه براساس مطالعات ریوتور و همکاران [۴۵] در حوضه پس‌کمان ایران مرکزی و در ۵۰ کیلومتری جنوب‌یا ختری سمنان واقع شده است و دارای مختصات جغرافیایی عرض شمالی "۱۹° ۲۷' ۳۵" و طول شرقی "۳۹° ۵۹' ۵۲" است. مسیر دسترسی به برشن مورد مطالعه از چاده اصلی تهران- سمنان پوده و مسیر فرعی از چاده اصلی، ۱۲ کیلومتر است (شکل ۱). سازند قم در برشن تلن کوه ۶۰۵ متر ستیرا دارد و شامل شش واحد سنگ‌چینه‌ای است که از نظر سنگ‌شناسی به طور عمده شامل سنگ‌آهک، تناوب سنگ‌آهک و مارن، سنگ‌آهک مارنی و ژپس است (شکل‌های ۲ و ۳). مرز زیرین سازند قم به صورت ناپیوستگی فرسایشی بر روی سازند قرمز زیرین قرار گرفته است و مرز بالایی این سازند در این برشن احتمالاً بهدلیل فرسایش یا گسل‌خوردگی تام‌شخص است.

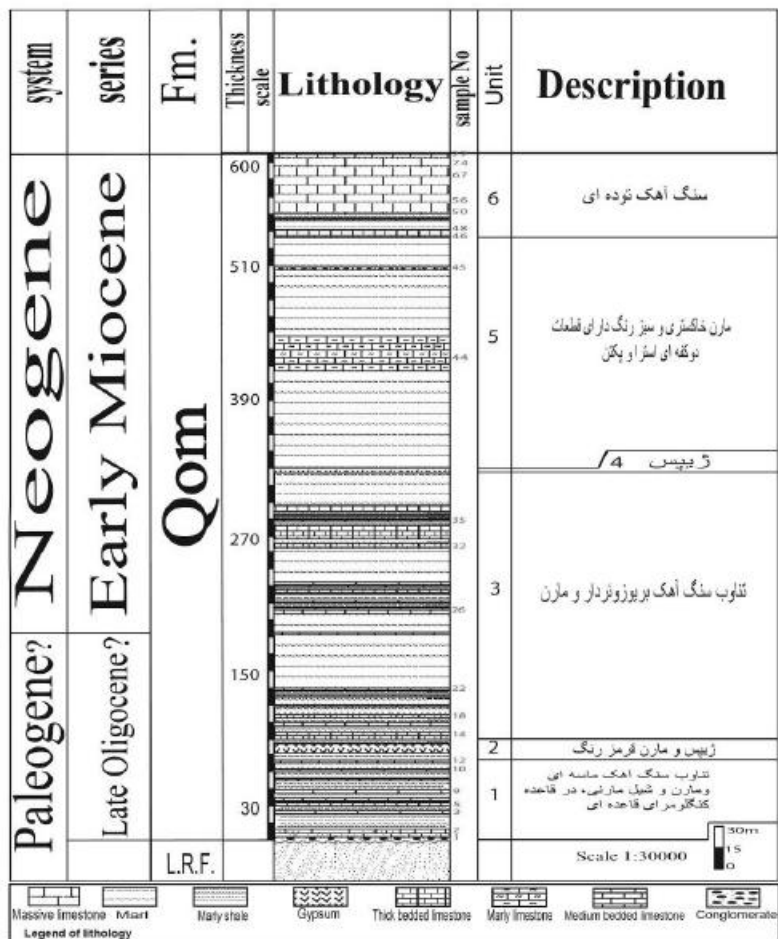
در این راستا، مطالعات دیگری هم انجام گرفته است [۱۰، ۹، ۱۲، ۱۳، ۱۴، ۱۵، ۱۶ و ۱۸].

روش مطالعه

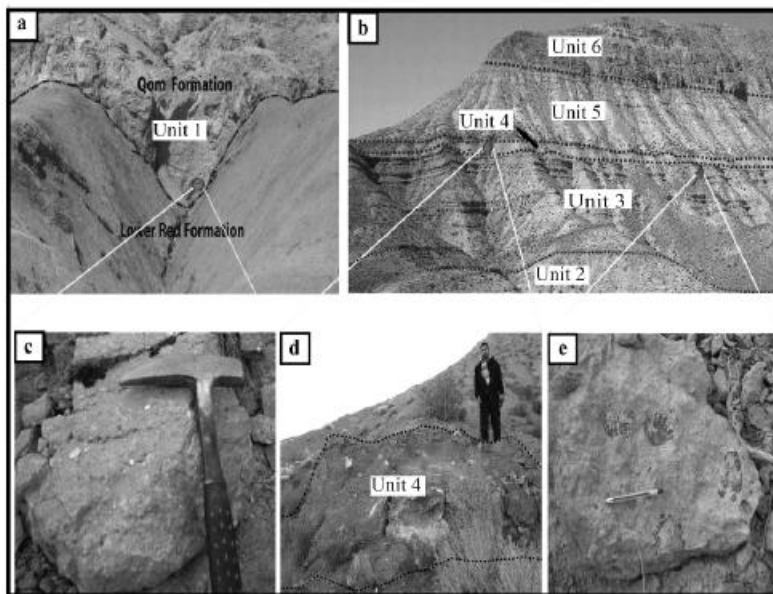
به منظور دست‌یابی به اهداف مورد نظر، مطالعات در دو مرحله میدانی و آزمایشگاهی انجام شد. پس از بررسی‌های میدانی برشن چینه‌شناسی مناسب واقع در جنوب‌یا ختر سمنان انتخاب شد. تمدن‌برداری عمود بر لایه‌بندی‌ها صورت گرفت و با تهیه ۱۵۴ مقطع نازک میکروسکوپی از تمونه سنگ‌ها، امکان شناسایی میکروفسیل‌ها از آن‌ها فراهم گردید. پس از مطالعه دقیق مقاطع نازک و شناسایی میکروفسیل‌ها و ریزرساره‌ها، عکس‌برداری از آن‌ها صورت گرفت. سهی روزن‌داران کفزی براساس منابع موجود از جمله آدامز و یورژوا [۱۹] و آدامز [۲۰] شناسایی گردیدند. نام‌گذاری یافت سنگ‌های کربناته براساس طبقه‌بندی دانهام [۳۰] صورت گرفت سهی ریزرساره‌های تعیین شده با ریزرساره‌های استاندارد فلوگل [۳۱] مطابقت داده شد. پس از تعیین گسترش و پراکندگی چینه‌شناسی روزن‌داران کفزی در برشن مورد مطالعه، تمودار پراکندگی روزن‌داران کفزی ترسیم شد و تعیین سن برشن مورد مطالعه با توجه به روزن‌داران کفزی شاخص صورت گرفت. به علت عدم معرفی یک زون پندی رسمی برای سازند قم و مشاهدت مجموعه روزن‌داران کفزی سازند قم با سازند آسماری، جهت تعیین سن نهشت‌های سازند قم با سازند آسماری، جهت تعیین سن نهشت‌های



شکل ۱. جایگاه زمین‌شناسی و جغرافیایی منطقه مورد مطالعه : a- نقشه جایگاه رسوبات سازند قم در ایران [۴۴، ۳۲] به همراه موقعیت برشن مورد مطالعه در حوضه پس‌کمان (QB: حوضه پس‌کمان قم، SSB: حوضه پیش‌کمان سندج-سیرجان، UDMA: کمان ماقمایی ارومیه-دختر)؛ b - جایگاه جغرافیایی و راه دسترسی به برشن تلن کوه [۴]



شکل ۲. ستون سنگی سازند قم در برش تان کوه واقع در جنوب باختیری سمنان

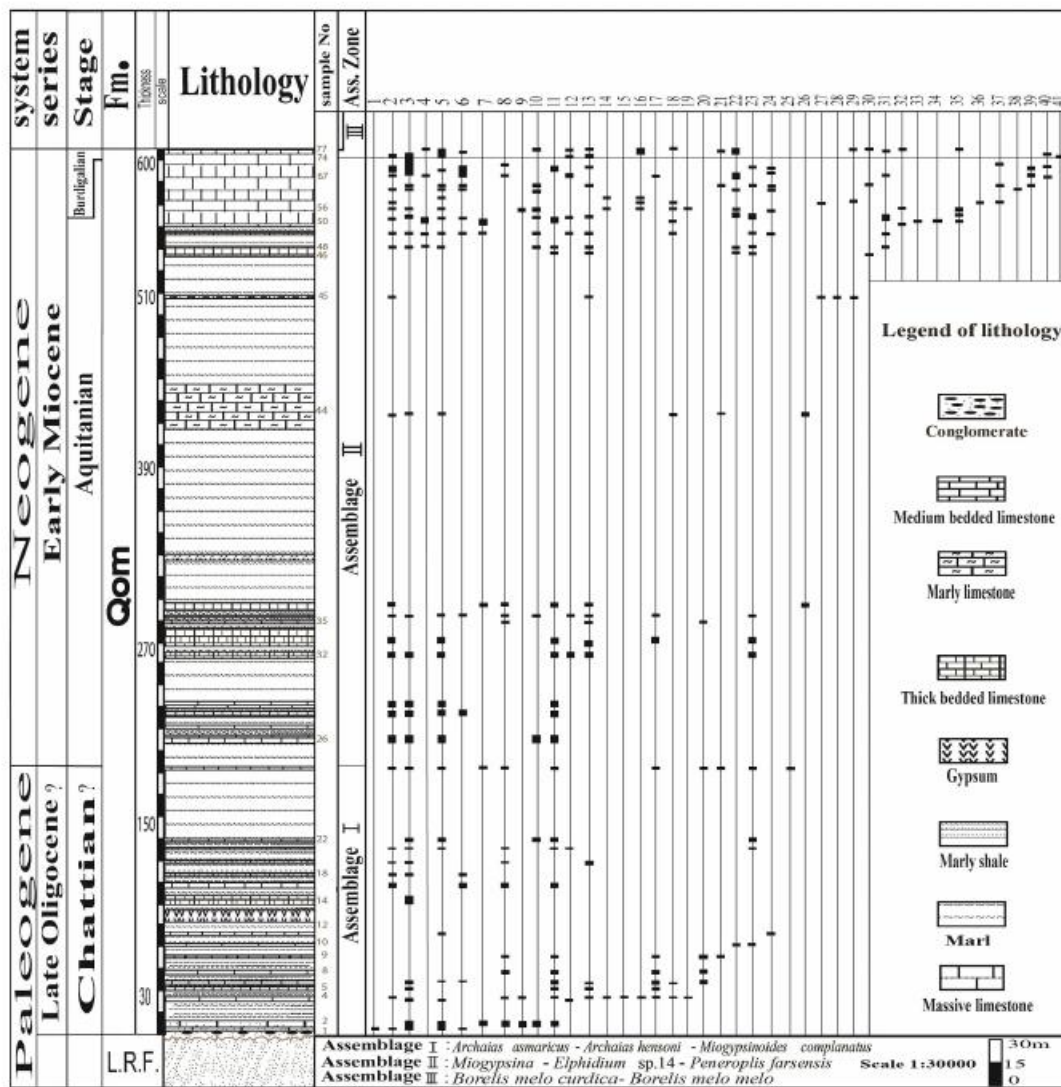


شکل ۳. تصاویری از برش تان کوه. a-نمایی از مرز زیرین سازند قم با سازند قرم زیرین. b-نمایی از واحدهای سازند قم (دید به سمت جنوب). c-نمایی تزدیک از کنگلومرای قاعده‌ای سازند قم. d-نمایی تزدیک از واحد چهارم که از ژیپس شکل گرفته است.. e-نمایی از سنگ آهک پکن دار متعلق به واحد سوم(محل برش و واحدهای سنگی به ترتیب در شکل های ۱ و ۲)

در این پژوهش متصور به شناسایی ۳۴ جنس و ۱۸ گونه شد که بر مبنای گسترش و پراکنده‌گی آن‌ها سه مجموعه فونی تشخیص داده شد (شکل ۴). یه علت عدم معرفی یک بایوزوتاپسیون رسمی برای سازند قم و شباهت فوئاتی سازند قم و آسماری، جهت تعیین سن و بایوزون‌های نهشته‌های پژوهش مورد مطالعه، از بایوزوتاپسیون‌های لارسن و همکاران [۳۶] و ون بوخ و همکاران [۴۸] استفاده شده است (شکل ۵).

نتایج و بحث

زیست‌چینه‌نگاری سازند قم در پژوهش مورد مطالعه مهم‌ترین شاخص‌های زیستی مورد استفاده در مطالعات زیست‌چینه‌نگاری در پژوهش تلن کوه روزن‌داران کفرزی هستند که می‌توان با توجه به توزیع آن‌ها در لایه‌های رسوبی، اجتماع و پراکنده‌گی زون‌های زیستی را معرفی نمود. هم‌چنین در پژوهش مورد مطالعه علاوه بر روزن‌داران، دو کفه‌ای‌ها، یریوزوئر، شکم‌پایان و خارپوستان نیز حضور دارند. بررسی‌های انجام شده بر روی روزن‌داران کفرزی



شکل ۴. ستون زیست‌چینه‌نگاری سازند قم در پژوهش تلن کوه

1. *Asterigerina rotula*, 2. *Triloculina* sp., 3. *Quinqueloculina* sp., 4. *Triloculina trigonula*, 5. Miliolids, 6. *Dendritina rangi*, 7. *Glomospira* sp., 8. *Ammonia* sp., 9. *Austrotrillina howchini*, 10. *Massilina* sp., 11. *Rotalia* sp., 12. *Spiroculina* sp., 13. *Elphidium* sp., 14. *Triloculina tricarinata*, 15. *Miogypsinoides* sp., 16. *Sphaerogypsina globulus*, 17. *Rotalia viennotti*, 18. *Textularia* sp., 19. *Miogypsinia* sp., 20. *Ammonia beccarii*, 21. *Discorbis* sp., 22. *Pyrgo* sp., 23. *Chilostomella* sp., 24. *Spirolina* sp., 25. *Archaias* cf. *kirkukensis*, 26. *Nodosaria* sp., 27. *Bozorgniella qumensis*, 28. *Elphidium* sp. 14, 29. *Amphistegina* sp., 30. *Elphidium* sp. 1, 31. *Planorbulina* sp., 32. *Valvulinid* sp., 33. *Nephrolepidina tourouteri*, 34. *Lepidocyclus* sp., 35. *Bigenerina* sp., 36. *Amphistegina lessonii*, 37. *Spirolina cylindracea*, 38. *Reussella spinulosa*, 39. *Schlumbergerina* sp., 40. *Praerhaphydionina delicata*, 41. *Borelis melo curdica*)

Burd.	Wynd (1965)	Adams & Bourgeois (1967)	Laursen et al. (2009) & Van Buchem et al. (2010)	Author(s)
	Borelis melo curdica (zone 61)	Borelis melo – Meandropsina iranica	Borelis melo curdica – B. melo melo	Burd.
Aquitanian	Austrotrillina howchini – Peneroplis evolutus (zone 59) (Includes: M. amahensis, B. psammata, P. Delicata)	Miogypsinoides – Archaias Valvulinid Archaias asmaricus – Archaias hensonii – Archaias asmaricus	Indeterminate Zone Miogypsinoides – Elphidium sp. 14 – Peneroplis farsensis	Stage Apt. Age Ma
Oligocene indicated	Archaias operculariformis (zone 58) Lepidocyclina – Operculina – Ditrupa (Zone 56) Globigerina spp. (Zone 55)	Nummulites intermedius N. vascus (Zone 57) Eulepidina – Nephrolepidina – Nummulites	Archaias asmaricus – A. hensonii – Miogypsinoides complanatus	Indeterminate Zone Aquitanian Miocene 23.03
		Globigerina	Nummulites vascus – Nummulites fichteli	Chattian Oligocene 28.4
			Eulepidina – Operculina – Ditrupa Globigerina spp. – Turborotalita terebratulensis – Hantkenina	Rupelian 33.9

شکل ۵. زون‌بندی‌های ارائه شده برای سازند آسماری توسط وایند [۱۹]. لارسن و همکاران [۲۶] و ون بوخم و همکاران [۴۸]. به علت عدم معرفی یک زون‌بندی رسمی برای سازند قم و شباهت مجموعه روزن‌داران گفزی سازند قم با سازند آسماری، جهت تعیین سن نهشت‌های سازند قم از زون‌بندی‌هایی که برای سازند آسماری معرفی شده‌اند، استفاده می‌گردد.

یدون همراهی یا *Nummulites* می‌تواند در اکی‌تائین نیز رخ دهد. همچنین مجموعه تجمع فونی اول و دوم را می‌توان معادل با پایزوون *Miogypsinoides-Archaias-Valvulinid Assemblage Zone* که توسط آدامز و بورژوا [۱۹] ارائه شده است، دانست.

مجموعه فونی سوم

این مجموعه در ۵ متری انتهایی برش وجود دارد و حضور روزن‌داران شاخصی چون *Borelis melo curdica* و *Dendritina rangi* در تجمع فونی سوم این برش، نشان دهنده‌ی انتطاق با پایزوون *Borelis melo curdica*-*Borelis melo curdica* می‌باشد. همچنین این مجموعه در عرض‌های بالای ۳۵ درجه و همچنین قرارگیری این مجموعه فونی منطبق با پایزوون *Borelis melo curdica*-*Meandropsina iranica Assemblage zone* بورژوا [۱۹] است. علاوه بر این با توجه به حضور *Astrotrillina howchini melo curdica* و *Miogypsina* sp. می‌توان این برش را همارز با پایزوون‌های SB24 و SB25 کاوازاك و پوئیگنات [۲۸] که برای الیگو-میوسن حوضه اروپا ارائه شده است، دانست. بنابراین بر مبنای زون‌بندی لارسن و همکاران [۲۶] و ون بوخم و همکاران [۴۸] سن نهشت‌های سازند قم در برش تلن کوه شاتین؟-بوردیگالین است.

مجموعه فونی اول

این مجموعه از قاعده تا ضخامت ۱۸۳ متری برش مورد مطالعه وجود دارد و با توجه به حضور *Archaias* cf. *Miogypsinoides* sp. *kirkukensis* *Archaias asmaricus*- *Archaias hensonii*-*Miogypsinoides complanatus Assemblage Zone* [۲۶] و ون بوخم و همکاران [۴۸] است. این محققان به این مجموعه سن شاتین داده‌اند اما با توجه به یافته‌های جدید محمدی و همکاران [۴۱] در خصوص سن میوسن پیشین برای نهشت‌های سازند قم در عرض‌های بالای ۳۵ درجه و همچنین قرارگیری این مجموعه در زیر مجموعه فونی دوم، سن شاتین؟ برای این مجموعه فونی در نظر گرفته شده است.

مجموعه فونی دوم

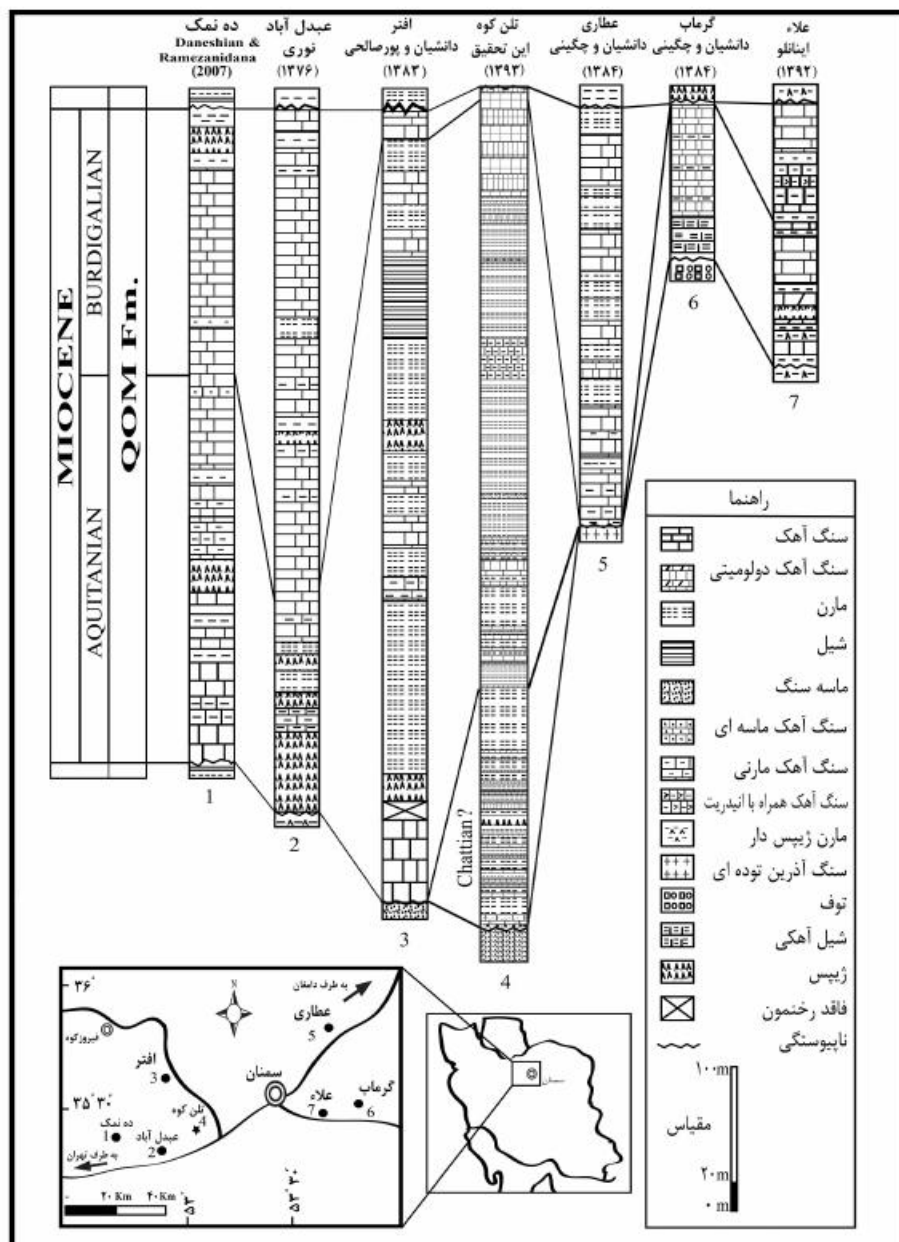
این مجموعه ۴۱۷ متر ضخامت دارد و با توجه به حضور *Miogypsina* sp. 14 و *Elphidium* sp. 14-*Peneroplis farsensis* می‌توان معادل با پایزوون *Miogypsina*- *Elphidium* sp. 14-*Peneroplis farsensis* لارسن و همکاران [۳۶] و بون بوخم و همکاران [۴۸] دانست که سن اکی‌تائین به آن نسبت داده شده است. همچنین در این مجموعه جنس‌های *Eulepidina* sp. و *Lepidocyclina* sp. حضور دارند که هر چند لارسن و همکاران [۳۶] و ون بوخم و همکاران [۴۸] سن شاتین به آن‌ها داده‌اند اما طبق نظر محمدی و همکاران [۴۱] حضور *Eulepidina* sp.

سمنان (اینالو [۳]) و پرش‌های عطاری و گرماب در شمال خاوری و جنوب خاوری سمنان (دانشیان و چگینی [۸]): (شکل ۶).

با بررسی پرش‌های مذکور می‌توان چنین نتیجه گرفت که نهشته‌های سازند قم در پرش تلن کوه شیاهت زیادی به لحاظ ستبر، سنگ‌چینه‌نگاری و زیست‌چینه‌نگاری به پرش افت دارد. هم‌چنین بررسی پرش‌های مذکور نشان دهنده انتطاق با نظر محمدی و همکاران [۴۱] در خصوص عرض‌های بالاتر از 35° است.

همبستگی کرونواستراتیگرافی پرش مورد مطالعه با برخی از نقاط هم‌جوار سمنان

در این بخش نهشته‌های سازند قم یا شیش ناحیه از ایران مرکزی (نواحی اطراف سمنان) مورد مقایسه قرار گرفت که این نواحی (از سمت پاخته به سمت خاور) عبارتند از: پرش دهتمک در جنوب‌پیاختی سمنان (دانشیان و رمضانی‌دانان [۲۹]), پرش عبدالآباد در جنوب‌پیاختی سمنان (توری [۱۷]), پرش افت در شمال‌پیاختی سمنان (دانشیان و پورصالحی [۷]), پرش علاء در شمال خاوری



شکل ۶. نطاپق پرش تلن کوه با پرش‌های هم‌جوار به همراه موقعیت جغرافیایی آن‌ها

رخساره مشابه‌ای از سازند آسماری در شمال باختر زاگرس معرفی کردند.

B2: وکستون بایوکلستی دارای کوارتز و بلورهای تبخیری: این ریزرخساره از قطعات دوکفه‌ای، کوارتز و بلورهای لوزی شکل دولومیت و ژیپس تشکیل شده است و آلوکم‌های فرعی آن شامل جلپک قرمز و روزن داران پرسلاتوز از جمله میلیولید و دندربیتینا هستند که در زمینه‌ای از میکراتیت قرار دارند. وجود میکراتیت فراوان، حضور دانه‌های کوارتز در یک زمینه کاملاً میکراتیت و نبود قابل توجه آثار جانوری گویای محیط خلی کم عمق محصور شده با اثری کم می‌باشد [۴۴]. همچنین فراواتی گل، ارتباط این ریزرخساره با ریزرخساره‌های لاغون و کمی فوتا حاکی از تشکیل این ریزرخساره در پهنه کشندی است (شکل ۸-۲).

دسته ریزرخساره‌های لاغون: این ریزرخساره‌ها خود به دو دسته لاغون محصور شده و لاغون باز (دارای ارتباط با دریای باز نسبت به لاغون محصور) تقسیم می‌شوند.

دسته ریزرخساره‌های مربوط به لاغون محصور شده^۴

C1: وکستون - پکستون دارای روزن داران بدون منفذ و بایوکلست: بافت این ریزرخساره از وکستون تا پکستون در تغییر است. آلوکم‌های اصلی آن شامل روزن داران پرسلاتوز (از جمله دندربیتینا و دیگر میلیولیدها) و خرده‌های دوکفه‌ای پوشش‌دار هستند. از اجزای فرعی می‌توان به قطعات خارپوست و گاستروپود اشاره کرد. میلیولیدها بی‌منفذ‌های بی‌همزیست هستند که می‌توانند در آب‌های کم عمق از نیمه شور تا فوق شور زندگی کنند و نشان‌دهنده‌ی محیط‌های با گردش بسیار محدود آب هستند و حضور فراوان آن‌ها به عنوان شاخصی برای محیط لاغون محسوب می‌شود [۳۲]. فراواتی روزن داران پرسلاتوز به خصوص میلیولیدها نشان از محیط لاغون دارد [۴۲]. محمدی و همکاران [۳۸] رخساره مشابه‌ای از محیط لاغون سازند قم در تاحیه جنوب کاشان و وزیری‌قدم و همکاران [۵۰] نیز این رخساره را از سازند آسماری در تاحیه لالی معرفی کردند (شکل ۸-۴).

رخساره‌ها

در پرش مورد مطالعه، رخساره‌ها پر اساس وجود و درصد فراواتی انواع آلوکم‌ها در ۵ دسته‌ی رخساره‌های سنگی و تبخیری ساحلی و فراکشنده، ریزرخساره‌های پهنه کشندی، لاغون (لاغون محصور و لاغون باز)، سد ماسه‌ای بایوکلستی^۱ و دریای باز کم عمق (سرائیب) تقسیم‌بندی شده‌اند (شکل ۷) که عبارتند از:

دسته رخساره ساحلی و فراکشنده^۲

A1: لیتوفارسیس کنگلومراز بلیزنتیک: قطعات اصلی تشکیل‌دهنده این رخساره شامل چرت، قطعات ولکانیکی و ماسه‌سنگی غالباً با اندازه بیش از ۲ میلی‌متر و جورشده‌گی ضعیف و همچنین قطعات جلپک قرمز (کورالیناسه) است که در زمینه‌ای از میکراتیت قرار گرفته‌اند (شکل ۸-a). این رخساره به صورت کنگلومراز قاعده‌ای در ابتدای سازند قرار دارد و شروع پیش‌روی دریایی قم را نشان می‌دهد. وجود دانه‌های آواری زاویدار و با گردش‌گی ضعیف نشان از چایخانی محدود این قطعات حاصل از خمکی دارد. همچنین همراهی این ذرات آواری با قطعات فسیلی دریایی از جمله قطعات کورالیناسه آستانگر محیط ساحلی این رخساره است.

A2: رخساره تبخیری ژیپس: این رخساره در ۷۰ و ۳۳۰ متری ستون سنگ‌چینه‌ای پرش مورد مطالعه قرار دارد که چزو رخساره‌های تبخیری سازند قم محسوب می‌گردد. این رخساره به دلیل ترم بودن قابلیت مقطع گیری ندارد (نمایی میدانی از این رخساره در شکل ۸-d نشان داده شده است). این رخساره نشان از آب و هوای گرم و خشک دارد و می‌توان آن را با کمریند رخساره‌ای شماره ۱۰ ویلسون [۵۲] معادل دانست.

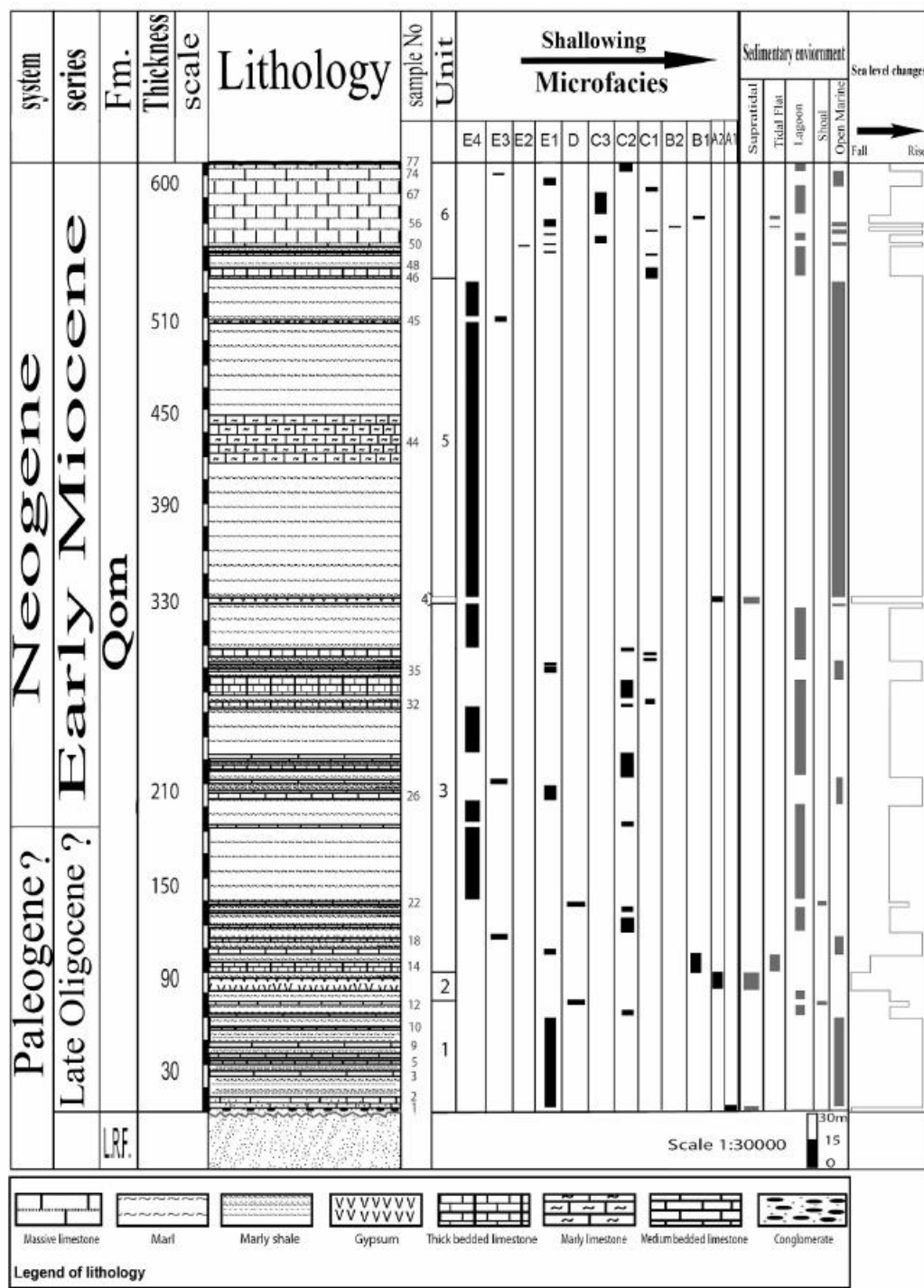
دسته ریزرخساره‌های پهنه کشندی^۳

B1: مادستون با بافت فنستراال: این ریزرخساره از میکراتیت تشکیل شده که فاقد فسیل بوده و دارای بافت فنستراال است. عدم حضور فوتا و وجود بافت فنستراال نشان‌دهنده‌ی شکل‌گیری این ریزرخساره در محیط کشندی است (شکل ۸-b). وزیری‌قدم و همکاران [۵۱]

¹ Shoal

² Beach and Supratidal facies

³ Tidal flat microfacies



شکل ۷. ستون توزیع عمودی ریزرساره‌های سازند قم در پرش تان کوه

میلیولیدها و چنسرهایی از قبیل *Dendritina* و روزن‌داران با دیواره هیالین از جمله خانواده روتالیده و قطعات دوکقه‌ای هستند (شکل ۸-۵). وجود تنوع بالای فوتا در این ریزرساره از جمله قرار گرفتن روزن‌داران با دیواره پرسلاتوز و هیالین در کنار

ریزرساره‌های مربوط به لاجون باز^۱ C2: وکستون-پکستون دارای روزن‌داران بدون منفذ، منفذدار و بایوکلست: آلوکم‌های اصلی این ریزرساره شامل روزن‌داران با دیواره پرسلاتوز مانند

¹ Open lagoon microfacies

حضور لپیدوسایکلیناهای بزرگ و دیگر استنوهالین‌های موجود در این ریزخسار، شوری نرمال دریایی و قسمت‌های پایین زون نوری و یک محیط دریایی باز با از روی پایین تا متوسط را نشان می‌دهد [۳۵: ۴۶ و ۵۱]. E2: پکستون- گرینستون دارای جلبک فرمز، بریوزوئر، کرینویید: از جمله آلوکم‌های این ریزخساره جلبک قرمز کورالیناسه (جنس‌های لیتوفیلوم و لیتوتمامینیوم)، بریوزوئر و کرینویید هستند. آلوکم‌های فرعی شامل خردنهای دوکفه‌ای و میلیولید هستند. در بعضی از نمونه‌ها روزن‌داران هیالین مثلاً روتالیا نیز وجود دارند. فراوانی فوتاهای اسکلتی خاص دریایی باز از جمله کورالیناسه و کرینویید نشان از شرایط شوری دریایی باز با چرخش آب مناسب و از روی هیدرودینامیکی متوسط دارد [۴۳]. پنایرین با توجه به غالب بودن آلوکم‌های مرتبط با دریایی باز و استنوهالین و نبود روزن‌داران پلاویک، این ریزخساره را می‌توان به نواحی کم‌عمق دریایی باز نسبت داد (شکل‌های ۸-k و ۸-j).

E3: پکستون بریوزوئردار: بریوزوئر عنصر اصلی در این ریزخساره است که بیش از نیمی از این رخساره را شامل می‌شود. بریوزوئرها موجوداتی بی‌تیاز به نور و هتروترووف هستند [۲۶]. فقدان روزن‌داران بزرگ همزیست‌دار و حضور بریوزوئرها که مستقل از نور هستند، نشان از تهذیب این رخساره در زیر زون نوری و داخل منطقه آفوتیک (بدون نور) دارد. محمدی و همکاران [۳۸] رخساره مشابه‌ای را از سازند قم در ناحیه جنوب کاشان معرفی کرده‌اند (شکل ۸-i).

E4: رخساره مارنی: رخساره مارن در پخش‌های میانی و بالایی توالی مورد مطالعه و بیشتر به رنگ سیز روشن و خاکستری دیده می‌شود. در پخش‌های بالایی این رخساره میان‌لایه‌های آهکی مارنی وجود دارد که حاوی روزن‌داران با پوسته منفذدار از جمله روتالیده و لپیدوسایکلینیده هستند. تناوب این پخش از رخساره با ریزخساره دریایی باز (E1) نشان از تعلق پخش‌های بالایی این رخساره به پخش کم عمق دریایی باز دارد. در پخش‌های میانی توالی، در میان‌لایه‌های آهکی این رخساره روزن‌داران پرسلانتوز از جمله Miliolids دیده می‌شوند که به جهت حضور آن‌ها و همچنین تناوب این قسمت با رخساره‌های لاغونی، این قسمت از این رخساره می‌تواند متعلق به لاغون باشد.

هم، نشان از ارتباط بالای این قسمت از لاغون با دریای باز دارد [۲۲: ۴۶ و ۵۰: ۲۳: ۲۴].

C3: پکستون- گرینستون دارای میلیولید، بریوزوئر، کرینویید: از آلوکم‌های اصلی این ریزخساره می‌توان به میلیولیدها، بریوزوئر، خارپوست (قطعات کرینویید) اشاره کرد. دیگر آلوکم‌های موجود شامل جلبک‌های قرمز کورالیناسه و دوکفه‌ای استرا هستند. با توجه به قرارگیری فوتاهای استنوهالین و یوری‌هالین در کنار یکدیگر و تنوع بالای فونا این ریزخساره متعلق به محیط لاغون به سمت دریایی باز است [۵۱]: (شکل‌های ۸-f و ۸-g).

ریزخساره مربوط به سد ماسه‌ای بایوکلستی

D: گرینستون بایوکلستی: فراوانی خردنهای دوکفه‌ای ویژگی مهم این ریزخساره است. خردنهای بریوزوئر از اجزایی فرعی این ریزخساره هستند. بعضی از این بایوکلست‌ها پوشش میکرایتی دارند. جورشدنی و گردشدنی خوب و فقدان زمینه دانه‌های ریز شرایط پرانروی محیط تشکیل این رخساره را نشان می‌دهد. براساس ۲۶ شیاهت این رخساره یا ریزخساره استاندارد شماره ۲۶ (RMF- 26) توصیف شده فلوگل [۳۱] و ویلسون [۵۲] می‌توان آن را به سدهای بایوکلستی که بالاتر از قاعده تأثیر امواج عادی^۲ که در حاشیه پلاتiform تشکیل می‌شوند، نسبت داد (شکل ۸-h).

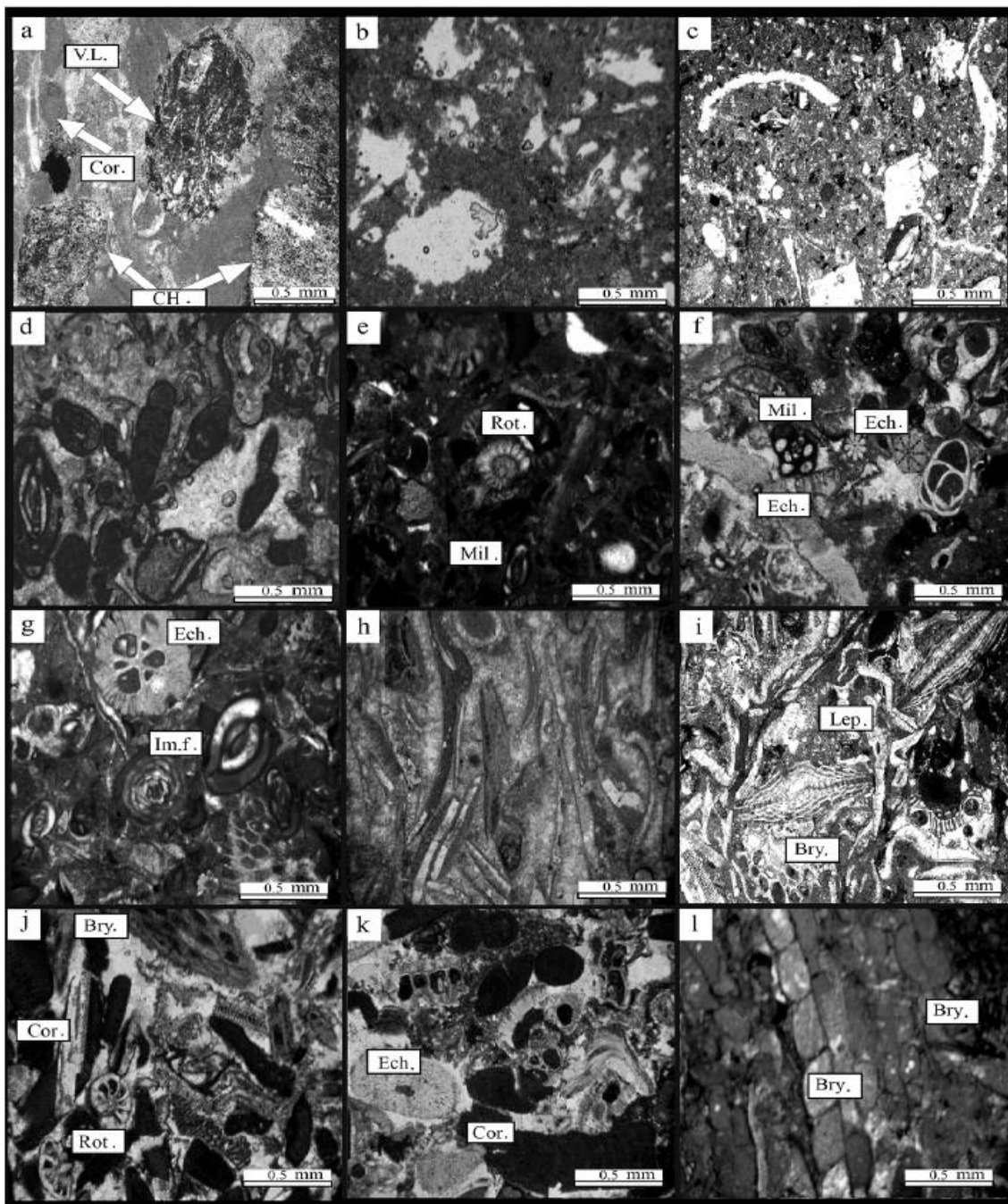
ریزخساره‌های مربوط به دریایی باز کم عمق^۳

E1: پکستون دارای روزن‌داران منفذدار، بریوزوئر، جلبک قرمز و بایوکلست: آلوکم‌های غالب در این ریزخساره شامل روزن‌داران هیالین لپیدوسایکلینیده (جنس یولپیدینا و نقرولپیدینا) و روتالیا، بریوزوئر، جلبک قرمز کورالیناسه و خردنهای دوکفه‌ای و آلوکم فرعی شامل کرینویید است که در زمینه‌ای از میکرایت قرار دارند (شکل ۸-i).

جلبک قرمز کورالیناسه با وجود واپسیه بودن به نور می‌تواند در شرایط الیگوفوتیک نیز زندگی کند و در آبهای با نفوذ کم نور نیز به فراوانی یافت می‌شود [۳۶].

² Fair weather wave base

³ Shallow open marine

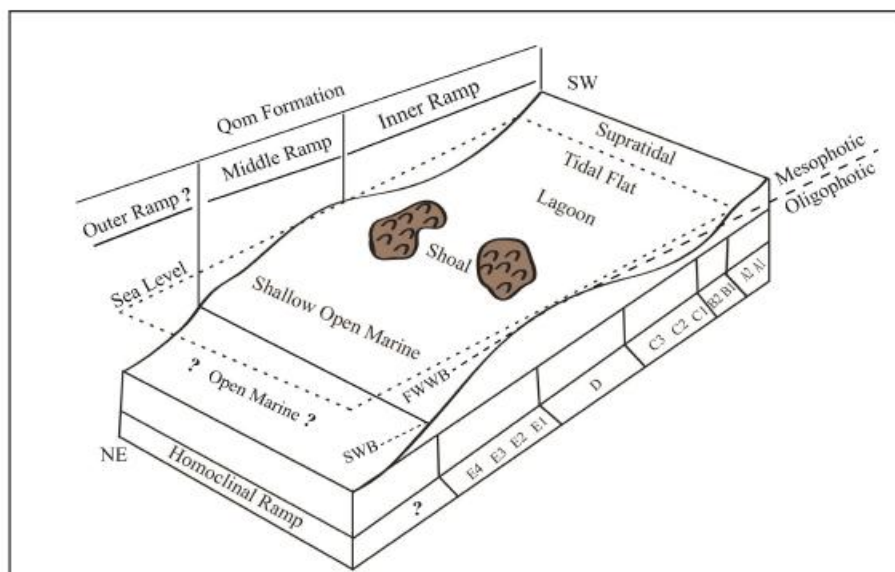


شکل ۸. پلیت ریز رخساره‌ها: a- لیتوفاسیس کنگلومرای پلی‌رنگی (A1). b- وکستون با بیوکلستی دارای دولومیت و کوارنز (B1). c- مادستون با یافته فنتسیوال (B2). d- وکستون-پکستون دارای روزن‌داران بدون منفذ و بایوکلست (C1). e- وکستون-پکستون دارای روزن‌داران بدون منفذ، منفذدار، منفذدار و بایوکلست (C2). f و g- پکستون-گرینستون دارای میلیولید، بریوزوئر، کربنوبید (C3). h- گرینستون بایوکلستی (D). i- پکستون دارای روزن‌داران منفذدار، بریوزوئر، جلیک قرمز و بایوکلست (E1). j و k- پکستون-گرینستون دارای کورالیناسه آ، بریوزوئر و کربنوبید (E2). l- پکستون بریوزوئردار (E3). Ech.: لبیدوسایکالین، Bry.: بروکسیت، CH.: خارپوست، Cor.: چرت، Im.F.: روزن‌داران پرسلانیوز، Rot.: روتالیا، Mil.: میلیولید، Lep.: لپیدوست

فراکشنی دارد و یافت فنستراو در مادستون و حضور بلورهای دولومیت و کوارتز و فراوانی کم‌فوتا از نشانه‌های رسوب‌گذاری در محیط پهنه کشنده است. فراوانی روزن‌داران با دیواره پرالانزو نشان از محیط لagon مخصوص شده در رمپ داخلی دارد [۴۲ و ۳۲]. به سوی سد ماسه‌ای پایوکلستی اجتماع دوگانه روزن‌داران پرالانزو در کنار روزن‌داران هم‌الین مثل روتالیده‌ها شرایط رسوب‌گذاری در حاشیه پلاتiform و در پخش انتهایی لagon به سمت دریای باز را نشان می‌دهد [۳۲ و ۴۶]. رخساره گرینستون پایوکلستی (D) رخساره سد ماسه‌ای پایوکلستی است که پخش عمده دانه‌های آن از جانداران دریایی باز که در حاشیه پلاتiform زندگی می‌کنند، شکل گرفته است. تبود گل و چورشیدگی دانه‌ها یک محیط پرانرژی را برای این رخساره نشان می‌دهد [۵۰]. رخساره‌های دورتر از حاشیه پلاتiform حاوی تعداد زیادی از روزن‌داران روتالیدی بزرگ منفذدار از چمله روتالیا و لپیدوساکلین‌های بزرگ است که دلالت بر رسوب‌گذاری در پخش کم‌عمق و دارای نور دریایی باز دارد [۳۲]. همان‌گونه که بیان شد روزن‌داران شناور که شاهدی بر وجود رمپ خارجی هستند در پرش تلن کوه دیده شده‌اند.

مدل محیط رسوبی

براساس توزیع روزن‌داران کفزی و تفسیر ریزرخساره‌های معزی شده، پنج زیرمحیط رسوبی برای سازند قم در پرش تلن کوه تشخیص داده شد. این پنج زیرمحیط شامل ساحل و فراکشنی، پهنه کشنده، لagon، سد ماسه‌ای پایوکلستی و قسمت کم‌عمق دریایی باز هستند. با توجه به خصوصیات ریزرخساره‌ها، تبود ریف پیوسته بین دریایی باز و لagon و همچنین فقدان ساختارهای ریزشی و لغزشی الگوی رسوب‌گذاری سازند قم در پرش تلن کوه رمپ کربناته هموکلینال پیشنهاد می‌گردد (شکل ۹). بر پایه مطالعات بورچت و رایت [۲۷] یک پلاتiform کربناته رمپ به سه پخش رمپ درونی، میانی و بیرونی تقسیم می‌شود. در پرش تلن کوه ریزرخساره‌های مریوط به مناطق عمیق که ویوگی شاخص آن‌ها حضور روزن‌داران شناور است دیده شده است بنابراین محیط رمپ کربناته به دو پخش داخلی و میانی تقسیم می‌شود: به طوری که در رمپ داخلی مجموعه رخساره‌های ساحلی و فراکشنی (A)، پهنه کشنده (B)، لagon (C)، سد ماسه‌ای پایوکلستی (D) و در رمپ میانی مجموعه رخساره‌های دریایی باز کم‌عمق (E) نهشته شده‌اند. در پرش مورد مطالعه وجود کنگلومراتی قاعده‌ای و لایه‌های تبخیری از چمله ژیپس نشان از وجود محیط ساحلی تا



شکل ۹. مدل محیط رسوبی پیشنهاد شده برای سازند قم در پرش تلن کوه که یک رمپ کربناته است که در آن زیرمحیط لagon و جزر و مدی از زیرمحیط دریایی باز توسط حاشیه پلاتiformی جدا شده است (FWWB: سطح اساس آب در شرایط آرام، SWB: سطح اساس آب در شرایط توفاتی).

Plate 1

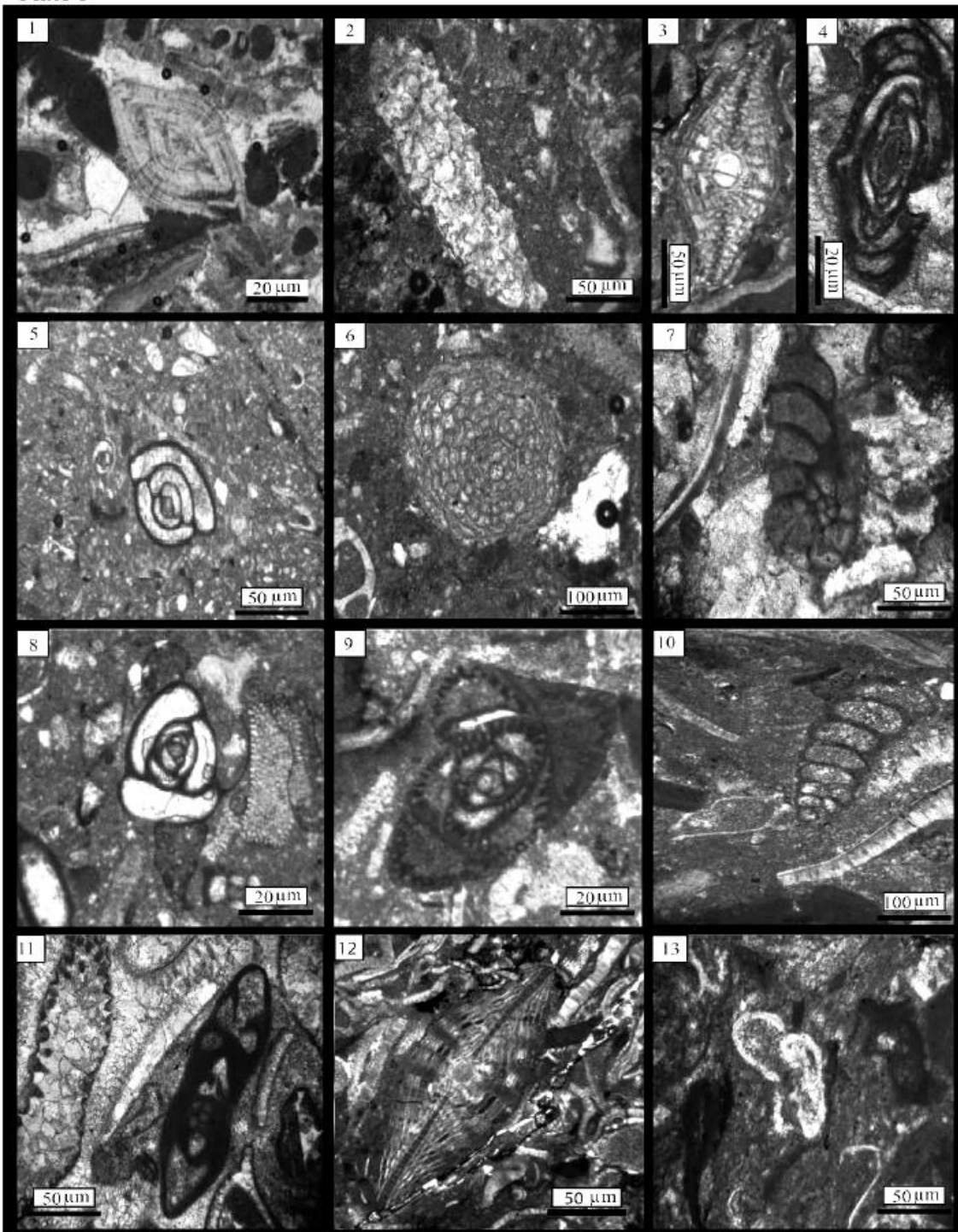


Plate 1: Fig.1. *Amphistegina* sp., Fig.2. *Miogypsina* sp., Fig.3. *Nephrolepidina tournoueri* Lemoine and Douville 1904, Fig.4. *Schlumbergerina* sp., Fig.5. *Pyrgo* sp., Fig.6. *Sphaerogypsina globulus* Galloway 1933, Fig.7. *Spirolina cylindracea* Lamarck 1804, Fig.8. *Triloculina trigonula* Lamarck 1804, Fig.9. *Astrotrillina howchini* Schlumberger 1893, Fig.10. *Bigenerina* sp., Fig.11 *Dendritina rangi* d' Orbigny 1904, Fig.12. *Lepidocyclina* sp., Fig.13. *Discorbis* sp.

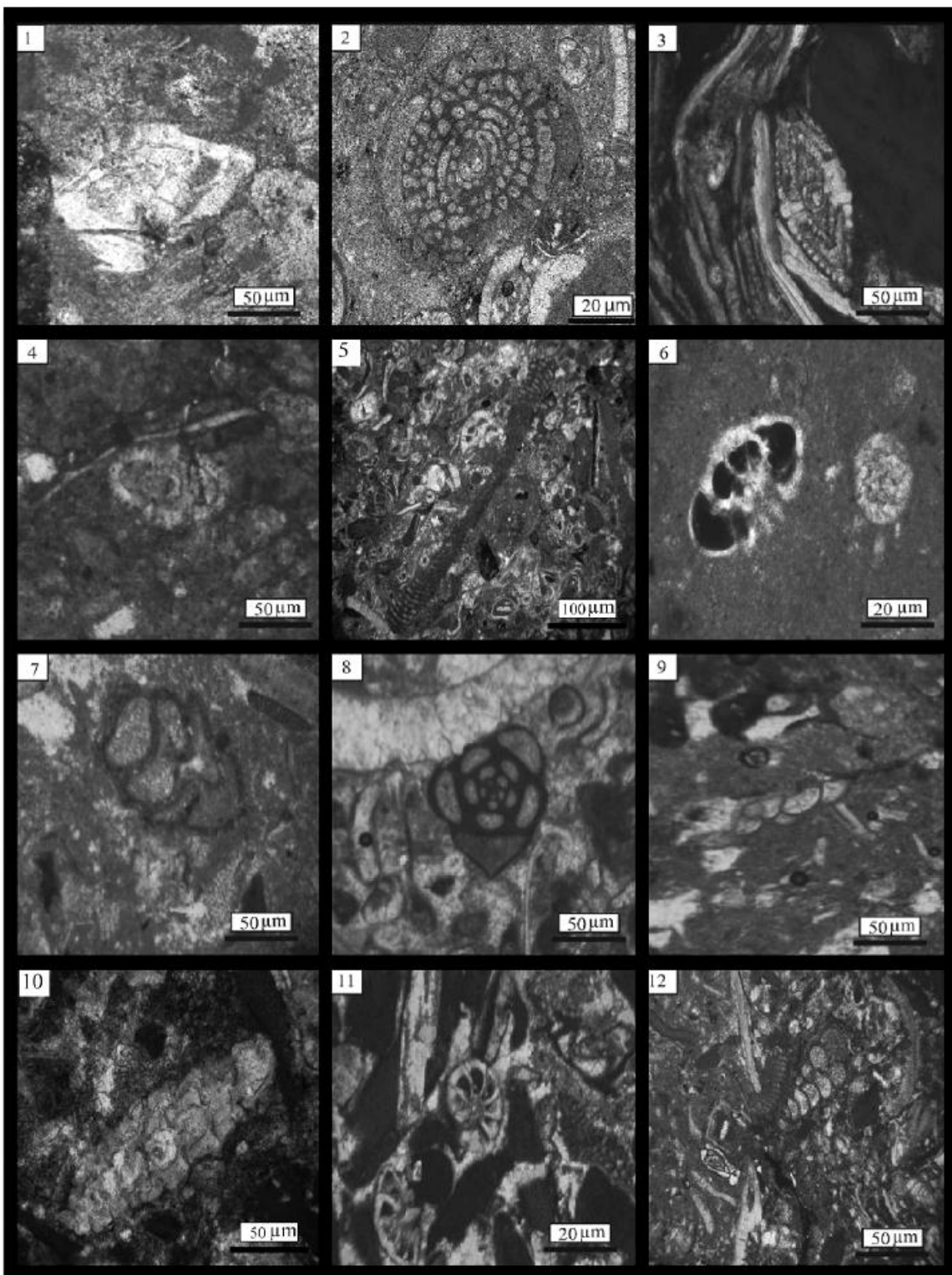


Plate 2: Fig.1. *Asterigerina rotula* Kaufmann 1867, Fig.2. *Borelis melo curdica* Reichel 1937, Fig.3. *Bozorgniella qumiensis* Rahaghi 1973, Fig.4. *Elphidium* sp.14 Thomas 1949, Fig.5. *Archaias* cf. *kirkukensis* Henson 1950, Fig.6. *Ammonia beccarii* Linne 1758, Fig.7. *Valvulina* sp., Fig.8. *Quinqueloculina* sp., Fig.9. *Planorbulina* sp., Fig.10. *Miogypsinoides* sp., Fig.11. *Rotalia viennotti* Greig 1935, Fig.12. *Textularia* sp.

- مرکزی، مجله رخساره‌های رسوبی، شماره ۳، صفحات ۴۰-۳۱.
- [۶] ترک‌زاده‌ماهانی، ا.، خسروی، ز (۱۳۹۱) چینه‌نگاری زیستی و بوم‌شناسی دیرینه نهشته‌های میوسن پیشین در برش جفریز (جنوب‌غرب کرمان) براساس روزن‌داران کفزی، مجله رخساره‌های رسوبی، شماره ۵، صفحات ۱۸۵-۱۸۶.
- [۷] داشیان، ج.، آفتابی، ا (۱۳۸۸) بیواستراتیگرافی فرامیتیرهای سازند قم براساس بافت‌های جدید در برش طالقانی نواب در جنوب‌شرق کاشان، مجله علوم، شماره ۳۵، صفحات ۱۳۷-۱۵۴.
- [۸] داشیان، ج.، پورصالحی، ف (۱۳۸۳) زیست‌چینه‌شناسی نهشته‌های سازند قم در شمال باخته افتر، شمال باخته سمنان، مجموعه مقالات هشتمین همایش انجمن زمین‌شناسی ایران، دانشگاه شاهروд.
- [۹] داشیان، ج.، چگنی، ع (۱۳۸۵) زیست‌چینه‌شناسی نهشته‌های سازند قم در شمال خاور و جنوب خاور سمنان، فصلنامه علوم زمین، شماره ۶۲، صفحات ۷۹-۷۲.
- [۱۰] داشیان، ج.، شهرابی، م.، اخلاقی، م (۱۳۸۹) زیست چینه‌نگاری و محیط دیرینه نهشته‌های سازند قم در شمال خاور ماهنشان، فصلنامه علوم زمین، شماره ۷۶، صفحات ۴۵-۵۰.
- [۱۱] رحیم‌زاده، ف (۱۳۷۳) زمین‌شناسی ایران‌الیگومن، میوسن و پلیوسن، سازمان زمین‌شناسی و اکتشافات معدنی ایران، ۳۱۱ صفحه.
- [۱۲] صفری، ا.، عامری، ح.، وزیری، م.ر.، محمدی، ا (۱۳۹۲) ریزرخساره‌ها و محیط رسوبی سازند قم در ناحیه ورکان (جنوب‌غربی کاشان)، حوضه پیش‌کمان سنتوج سیرجان، مجله دیرینه‌شناسی، شماره ۲، صفحات ۱۸۷-۲۰۴.
- [۱۳] صرفیان، ع.، ترابی، ح.، شجاعی، م (۱۳۸۵) میکروفاسیس و محیط رسوبی سازند قم در منطقه نظرن (کوه چرخه)، مجله پژوهشی علوم پایه، شماره ۲۳، صفحات ۱۳۵-۱۴۸.
- [۱۴] کاروان، م.، محبوبی، ا.، وزیری‌مقدم، ح.، موسوی‌حرمی، ر (۱۳۹۳) رخساره‌های رسوبی و چینه‌نگاری سکانسی نهشته‌های سازند قم در شمال خاوری دلیجان شمال-باخته ایران مرکزی، فصلنامه علوم زمین، شماره ۹۴، صفحات ۲۲۷-۲۴۸.
- [۱۵] محمدی، ا.، وزیری، م.ر.، داستانپور، م (۱۳۹۳) بررسی ریزرخساره‌ها و بازسازی محیط رسوبی سازند قم در ناحیه سیرجان، جنوب‌غرب کرمان، مجله پژوهش‌های

نتیجه‌گیری

- ۱- سازند قم در برش تلن کوه با ۶۰۵ متر ضخامت در ۵۰ کیلومتری جنوب‌باخته سمنان واقع شده است و از شش واحد سنگی شکل گرفته است که از نظر لیتولوژی به طور عمده شامل سنگ‌آهک، تنابوب سنگ‌آهک و مارن، مارن، سنگ‌آهک مارتی و ژیپس است.
- ۲- مرز زیرین سازند قم در این برش با سازند قرمز زیرین به صورت تاپیوستگی فرسایشی و مرز بالای آن احتمالاً بهدلیل فرسایش یا گسل خوردگی نامشخص است.
- ۳- در سازند قم در برش تلن کوه ۳۴ جنس و ۱۸ گونه از روزن‌داران کفزی شناسایی گردید. براساس نحوه گسترش و پراکندگی آن‌ها سه بیوزون تجمعی با سن شاتین؟-پوردیگالین تعیین گردید.
- ۴- برایه بازدیدهای میدانی و مطالعات آزمایشگاهی یک لیتوفاسیس کنگلومرایی، یک رخساره تبخیری و ۱۰ ریزرخساره متعلق به ۵ دسته محیطی فراکشنی، پهنه کشیدی، لاغون، سد ماسه‌ای باپولکستی و دریای باز کم عمق شناسایی گردید.
- ۵- با توجه به مطالعات محیط رسوبی صورت گرفته و نبود ریف سدی بزرگ بین لاغون و دریای باز، فقدان ساختارهای لغزشی و ریزشی و تغییرات تدریجی رخساره‌ها، سازند قم در برش مورد مطالعه در یک رمپ کربناته هموکلینال نهشته شده است.

منابع

- [۱] آفتابی، س.ع (۱۳۸۵) زمین‌شناسی ایران، سازمان زمین‌شناسی و اکتشافات معدنی کشور، ۵۸۶ ص.
- [۲] انجمن‌شعاع، ع.، امیرشاه‌کرمی، م (۱۳۹۲) چینه‌نگاری زیستی و محیط رسوبی دیرین نهشته‌های الیگومن پسین در برش تنور (جنوب‌غرب کرمان، ایران مرکزی)، مجله رخساره‌های رسوبی، شماره ۶، صفحات ۱۴۹-۱۳.
- [۳] اینانلو، ط (۱۳۹۲) چینه‌نگاری زیستی و چینه‌نگاری سکانسی سازند قم در برش علاء (جنوب‌شرق سمنان)، دانشگاه دامغان، پایان‌نامه کارشناسی ارشد، ۸۶ صفحه.
- [۴] بختیاری، س (۱۳۸۴) اطلس راههای ایران با مقیاس ۱:۱۰۰۰۰۰، موسسه جغرافیایی و کارتوگرافی گیتا شناسی، ۲۸۸ صفحه.
- [۵] بهفروزی، ا.، صفری، ا.، وزیری مقدم، ح (۱۳۸۹) زیست چینه‌نگاری سازند قم در ناحیه چنار (شمال‌غرب کاشان) براساس روزن‌داران و تطبیق آن با برخی از نقاط ایران

- [28] Cahuzac, B., Poignant, A (1997) An attempt of biozonation of the European basin, by means of larger neritic foraminifera: Bulletin Societe Géologique, France, 168: 155-169.
- [29] Daneshian, J., Ramezanidana, L (2007) Early Miocene benthic foraminifera and biostratigraphy of the Qom Formation, Dehnamak, Central Iran, journal of Asian Earth Science, 29: 844-858.
- [30] Dunham, R.J. (1962) Classification of carbonate rocks according to their depositional texture, American Association of Petroleum Geologists, 1: 108-121.
- [31] Flügel, E (2010) Microfacies of Carbonate Rocks, Analysis Interpretation and Application, Springer-Verlag, Berlin, Heidelberg, 976 p.
- [32] Geel, T (2000) Recognition of stratigraphic sequences in carbonate platform and slope deposits: empirical models based on microfacies analysis of Paleogene deposits in southeastern Spain, *Palaeogeography, Palaeoclimatology, Palaeoecology*, 155: 211-238.
- [33] Halfar, J., Mutti, M (2005) Global Dominance of corallin red-algal facies: A response to Miocene oceanographic events, *Geology*, 33: 481-484.
- [34] Harzhauser, M., Piller, W.E (2007) Benchmark data of a changing sea and events in the Central Paratethys during the Miocene, *Palaeogeography, Palaeoclimatology, Palaeoecology*, 253: 8-31.
- [35] Hottinger, L (1983) Processes determining the distribution of larger foraminifera in space and time, *Utrecht Micropaleont. Bull.*, 30: 239-253.
- [36] Laursen, G.V., Monibi, S., Allan, T.L., Pickard, N.A., Hosseiney, H., Vincent, B., Hamon, Y., Buchem, F.S.P., Mollemi, A., Druillón, G (2009) The Asmari Formation revisited: Change Stratigraphic allocation and new biozonation, First international petroleum conference and exhibition, Shiraz, Iran, 1-5.
- [37] MaghfouriMoghaddam, I., Borji, s., Amini, E., Azadbakht, s., Taherpour, M (2014) Microbiostratigraphy of the Qom Formation in Southwestern Tafresh, Central Iran, Iranian journal Earth Sciences, 6: 52-63.
- [38] Mohammadi, E., Safari, A., Vaziri-Moghaddam, H., Vaziri, M.R., Ghaedi, M (2011) Microfacies analysis and paleoenvironmental interpretation of the Qom Formation, South of the Kashan, Central Iran, *Carbonate Evaporates*, 26: 255-271.
- [39] Mohammadi, E., Ameri, H (2015) Biotic components and biostratigraphy of the Qom Formation in northern Abadeh, Sanandaj-Sirjan fore-arc basin, Iran (northeastern
- چینه‌نگاری و رسوب‌شناسی، شماره ۵۵، صفحات ۲۵
- .۵۴
- [۴۰] محمدیان‌اصفهانی، م.، صفری، ا.، وزیری‌مقدم، ح (۱۳۹۲) بررسی ریزخسارت‌ها و محیط رسوبی سازند قم در ناحیه بیجگان (شمال‌شرق دلیجان)، مجله رخساره‌های رسوبی، شماره ۶، صفحات ۷۶-۶۵
- [۴۱] نوری، ن (۱۳۷۶) بررسی میکروفلسفیس و محیط رسوبی سازند قم در منطقه عبدالآباد سمنان و مقایسه آن با خاکزدن اردستان، دانشگاه تربیت معلم تهران، پایان‌نامه کارشناسی ارشد، ۸۷ صفحه.
- [۴۲] وزیری، م.ر.، حسنی، مج.، حسینی‌پور، ف (۱۳۸۸) زیست‌چینه‌نگاری سازند قم در جنوب سیرجان، براساس روزن‌داران کفزی، مجله رخساره‌های رسوبی، شماره ۲، صفحات ۱۵۳-۱۶۲
- [۴۳] Adams, T.D., Bourgeois, F (1967) Asmari biostratigraphy: Geological and Exploration Division, Iranian Oil Operating Companies, Report No. 1074, Unpublished.
- [۴۴] Adams, T.D. (1969) The Asmari Formation of Lurestan and Khuzestan Provinces, Iranian Oil Operating Companies, Report No. 1151, Unpublished.
- [۴۵] Amirshahkarami, M., Karavan, M (2015) Microfacies models and sequence stratigraphic architecture of the Oligocene-Miocene Qom Formation, south of Qom City, Iran, *Geoscience Frontiers*, 6: 593-604.
- [۴۶] Amirshahkarami, M., Vaziri-Moghaddam, H., Taheri, A (2007a), Paleoenvironmental model and sequence stratigraphy of the Asmari Formation in southwest Iran, *Historical Biology*, 19 (2): 173-183.
- [۴۷] Amirshahkarami, M., Vaziri-Moghaddam, H., Taheri, A (2007b), Sedimentary facies and sequence stratigraphy of the Asmari Formation at the Chaman-Bolbol, Zagros basin, Iran, *Journal of Earth Science*, 29: 947-959.
- [۴۸] Behforouzi, A., Safari, A (2011) Biostratigraphy and paleoecology of the Qom Formation in Chenar area (northwestern Kashan), Iran, *Revista Mexicana de Ciencias Geológicas*, 28: 555-565.
- [۴۹] Berning, B., Reuter, M., Piller, W.E., Harzhauser, M., Kroh, A (2009) Larger foraminifera as a substratum for encrusting bryozoans (Late Oligocene, Tethyan Seaway, Iran), *Facies*, 55: 227- 241.
- [۵۰] Brandano, M., Corda, L (2002) Nutrients, sea level and tectonics: constraints for the facies architecture of a Miocene carbonate ramp in central Italy, *Terra Nova*, 14: 257-262.
- [۵۱] Burchette, T.P., Wright, V.P (1992) Carbonate ramp depositional systems, *Sedimentary Geology* 79: 3-57.

- Stratigraphic architecture and reservoir types of the Oligo-Miocene deposits in the Dezful Embayment (Asmari and Pabdeh Formation), SW Iran, Geological of Society of London, special publication, 329: 219-263.
- [49] Vaziri-Moghaddam, H., Torabi, H (2004) Biofacies and sequence stratigraphy of the Oligocene succession, Central basin, Iran, Neues Jahrbuch für Geologie und Paläontologie, 6: 321-344.
- [50] Vaziri-Moghaddam, H., Kimiagari, M., & Taheri, A.. 2006. Depositional environment and sequence stratigraphy of the Oligocene-Miocene Asmari Formation in SW Iran, Lali Area, Facies, 52: 41-51.
- [51] Vaziri-Moghaddam, H., Seyrafian, A., Taheri, A., Motiei, H (2010) Oligocene-Miocene ramp system (Asmari Formation) in the NW of the Zagros basin, Iran: microfacies, paleoenvironment and depositional sequence: Revista Mexicana de Ciencias Geologicas, 27: 56-71.
- [52] Wilson, J.L (1975) Carbonate Facies in Geological History, Springer, Berlin-Heidelberg, New York, 471 p.
- [53] Wynd, J (1965) Biofacies of the Iranian Oil Consortium Agreement Area, Iranian Oil Offshore Company, Report No. 1082, Unpublished.
- margin of the Tethyan Seaway, Arabian Journal of Geosciences, "in press".
- [40] Mohammadi, E., Hasanzade-Dastgerdi, M., Ghaedi, M., Dehghan, R., Safari, A., Vaziri-Moghaddam, H., Baizidi. C., Vaziri, M.R., Sfidari, M (2013) The Tethyan Seaway Iranian Plate Oligo-Miocene deposits (the Qom Formation): distribution of Rupelian (Early Oligocene) and evaporate deposits as evidences for timing and trending of opening and closure of the Tethyan Seaway, Carbonates Evaporites, 28: 321-345.
- [41] Mohammadi, E., Vaziri, M.R., Dastanpour, M (2015) Biostratigraphy of the Nummulitids and Lepidocyclinids bearing Qom Formation Based on larger benthic foraminifera (Sanandaj-Sirjan fore-arc basin and central Iran back-arc basin, Iran), Arabian Journal of Geosciences, 8: 403-423.
- [42] Pomar, L., Hallock, P (2008) Carbonate factories: A conundrum in sedimentary Geology, Earth-Science Reviewers, 87: 134-169.
- [43] Rahmani, A., Vaziri-Moghaddam, H., Taheri, A., Ghabeishavi, A (2009) A model for the Paleoenviromental distribution of larger foraminifera of Oligocene-Miocene carbonate rocks at Khaviz Anticline, Zagros basin, SW Iran, Historical Biology, 21: 215-227.
- [44] Rasser, M.W., Nebelsick, J.H (2003) Provenance analysis of Oligocene autochthonous and allochthonous coralline algae: a quantitative approach towards reconstructing transported assemblages, Palaeogeography, Palaeoclimatology, Palaeoecology, 201: 89-111.
- [45] Reuter, M., Pillar, W. E., Harzhauser, M., Mandic, O., Berning, B., Rogl, F., Kroh, A., Aubry, M. P., Wielandt, U., Hamedani, A (2009) The Oligo- Miocene Qom Formation (Iran): evidence for an early Burdigalian restriction of Tethyan Seaway and closer of its Iranian gateways, International Journal of Earth Sciences, 98: 627-650.
- [46] Romero, J., Caus, E., Rossel, J (2002) A Model for the Palaeoenvironmental distribution of larger foraminifera based on Late Middle Eocene deposits on the margin of the south Pyrenean Basin (SE Spain): Palaeogeography, Palaeoclimatology, Palaeoecology, 179(1): 43-56.
- [47] [47] Schuster, F., Wielandt, I (1999) Oligocene and Early Miocene coral faunas from Iran: palaeoecology and paleobiogeography, International Journal of Earth Sciences, 88: 571-581.
- [48] Van Buchem, F.S.P., Allan, T.L., Laursen, G.V., Lotfpor, M., Moallemi, A., Monibi, S., Motiei, H., Pichard, N.A.H., Tahmasbi, A.R., Vedrenne, V., Vincent, B (2010) Regional